

ผลของสารเจือต่อการดูดกลืนแสงของโพโตสตริกทีฟ
เลดเดนทานัมเซอร์โคเนตไฟแทนต

นายอนุกร วานิชเพียรพงศ์



วิทยานิพนธ์นี้เป็นส่วนหนึ่งของการศึกษาตามหลักสูตรปริญญาวิทยาศาสตรมหาบัณฑิต
สาขาวิชาเทคโนโลยีเชรามิก ภาควิชาวัสดุศาสตร์
คณะวิทยาศาสตร์ จุฬาลงกรณ์มหาวิทยาลัย
ปีการศึกษา 2543
ISBN 974-13-0293-2
ลิขสิทธิ์ของจุฬาลงกรณ์มหาวิทยาลัย

EFFECT OF DOPANTS ON ABSORPTION EDGE OF
PHOTOSTRICTIVE PLZT

Mr.Thanakorn Wasanapiarnpong

A Thesis Submitted in Partial Fulfillment of the Requirements
for the Degree of Master of Science in Ceramic Technology

Department of Materials Science

Faculty of Science

Chulalongkorn University

Academic Year 2000

ISBN 974-13-0293-2

Accepted by the Faculty of Science, Chulalongkorn University in
Partial Fulfillment of the Requirements for the Master's Degree

 Dean of Faculty of Science
(Associate Professor Wanchai Phothiphipichitr, Ph.D.)

THESIS COMMITTEE

I Chuayjuljit Chairman
(Associate Professor Saowaroj Chuayjuljit)

Supatra Thesis Advisor
(Associate Professor Supatra Jinawath, Ph.D.)

Patcharin Burke Thesis Co-advisor
(Patcharin Burke, Ph.D.)

Sutin Kuharuangrong Member
(Assistant Professor Sutin Kuharuangrong, Ph.D.)

..... *Sirithan J.* Member
(Sirithan Jiemsirilers, Ph.D.)

ธนาคาร วิสาหะเพียรพงศ์ : ผลของสารเจือต่อการดูดกลืนแสงของโพโตสตริกทีฟเลด
และทานัมเซอร์โคเนตไททาเนต. (EFFECT OF DOPANTS ON ABSORPTION EDGE
OF PHOTOSTRICTIVE PLZT) อ. ที่ปรึกษา : รศ.ดร.สุพัตรา จินาวัฒน์, อ. ที่ปรึกษา
ร่วม : ดร.พชรินทร์ เบอร์ค, 86 หน้า. ISBN 974-13-0293-2.

สารเซรามิกเลดและทานัมเซอร์โคเนตไททาเนต (PLZT) ได้รับความสนใจอย่างสูงเนื่องจากมี
สมบัติที่ดีทางด้านโพโตสตริกชน ซึ่งเป็นปรากฏการณ์แสงขับเคลื่อนแรงกล โดยเป็นการรวมปรากฏการณ์
สองชนิดไว้ด้วยกันคือ แสงขับเคลื่อนไฟฟ้า และไฟฟ้าขับเคลื่อนแรงกล งานวิจัยนี้ได้ศึกษาผลของสารเจือที่
มีต่อสมบัติต่างๆ ได้แก่ สมบัติแสงขับเคลื่อนไฟฟ้า แสงขับเคลื่อนแรงกล แรงกลขับเคลื่อนไฟฟ้า และค่า
ของเขตการดูดกลืนแสงของสาร PLZT ที่มีองค์ประกอบ $(\text{Pb}_{0.97}\text{La}_{0.03})(\text{Zr}_{0.52}\text{Ti}_{0.48})_{1-0.03/4}\text{O}_3$ (3/52/48)
ที่เติมด้วยสารเจือชนิดต่างๆ ในปริมาณ 0.5 เปอร์เซ็นต์อะตอม เผาชิ้นเทอร์ที่ 1250 องศาเซลเซียสเป็นเวลา
2 ชั่วโมง อิโอนของสารเจือที่ใช้เข้าแทนที่อิโอนเดิมในโครงสร้างผลึกของ PLZT ที่ตำแหน่ง A หรือตำแหน่ง B
ขึ้นอยู่กับขนาดและประจุของอิโอนที่เลือก อิโอนของสารเจือในกลุ่มดอนเนอร์ตำแหน่ง B กลุ่มดอนเนอร์
ตำแหน่ง A และกลุ่มไอโซวาริเอนซ์ ให้ค่าแสงขับเคลื่อนไฟฟ้า และแสงขับเคลื่อนแรงกลสูงขึ้น ส่วนกลุ่มแอก
เช็ปเตอร์และ 3d ทรานซิชันให้ค่าที่ต่ำลง ผลของการเจือด้วยอิโอน Cu^{2+} และ W^{6+} ทำให้ค่าของเขตการ
ดูดกลืนแสงของสาร PLZT เคลื่อนไปที่ความยาวคลื่นเท่ากับ 390 นาโนเมตร เปรียบเทียบกับ 375 นาโน
เมตรของสาร PLZT ที่ไม่มีการเจือสารใด

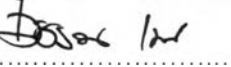
ภาควิชา วัสดุศาสตร์

สาขาวิชา เทคโนโลยีเซรามิก

ปีการศึกษา 2543

ลายมือชื่อนิสิต 

ลายมือชื่ออาจารย์ที่ปรึกษา 

ลายมือชื่ออาจารย์ที่ปรึกษาร่วม 

4272291423 : MAJOR CERAMIC TECHNOLOGY

KEY WORD : PHOTOSTRICKTION/ ABSORPTION EDGE/ BAND GAP ENERGY/ PLZT

THANAKORN WASANAPIARNPONG : EFFECT OF DOPANTS ON ABSORPTION EDGE OF PHOTOSTRICTIVE PLZT. THESIS ADVISOR : ASSOCIATE PROFESSOR SUPATRA JINAWATH, Ph.D., THESIS CO-ADVISOR : PATCHARIN BURKE, Ph.D. 86 pp. ISBN 974-13-0293-2.

PLZT ceramics have drawn a considerable attention due to their promising photostictive behaviors, superposition of photovoltaic and converse-piezoelectric effects. This study concentrated on photovoltaic effect, photostriction, piezoelectricity and optical absorption edge as functions of dopants. $(\text{Pb}_{0.97}\text{La}_{0.03})(\text{Zr}_{0.52}\text{Ti}_{0.48})_{1-0.03/4}\text{O}_3$. [PLZT, (3/52/48)] ceramics doped with 0.5 at% of selected dopants were prepared by a conventional oxide mixing technique and sintered at 1250 °C for 2h. The dopant substituted in the lattice of PLZT unit cell at the A or B-sites as donor or acceptor. Donor B-site, donor A-site and isovalence dopants were found to raise the photovoltaic and photostrictive properties. However, the acceptors and 3d transition dopants showed the adverse effect on PLZT ceramics. Cu^{2+} and W^{6+} are the promising dopants in shifting the optical absorption edge from 375 nm in undoped PLZT ceramic to 390 nm, closer to the visible range.

Department Materials Science

Student's signature

Field of study Ceramic Technology

Advisor's signature

Academic year 2000

Co-advisor's signature

Acknowledgement



I would like to express my deep gratitude to my co-advisor, for her encouragement, consistent guidance and for all that I have learnt from her throughout this research and gave me an opportunity to study the interesting field like Photostriiction. Her advices never failed to inspire the good idea and increase my motivation. I would also like to extend my gratitude to my advisor, Associate Professor Dr. Supatra Jinawath, who support me in this study. My work would not be completed without her helpful.

I acknowledge Assistant Professor Dr. Sutin Kuharuangrong for her advice about temperature dependent dielectric measurements.

I would like to thank the National Science and Technology Development Agency (NSTDA) for Local Graduate Scholarship and the research financial support. Thanks to the National Metal and Materials Technology Center (MTEC) for the materials characterization instrument supports. And thanks to the Manufacturing and Design Technology Center (MDTC) for some instrument supports.

My thanks are also extended to the staff of NSTDA, MTEC, MDTC and the staff of Thailand Institute of Scientific and Technological Research (TISTR) for their suggestions and assistance.

Thanks to all my friends at the Department of Materials Science for their friendship and supports.

Finally, I would like to express my gratitude to my family for their loves, understanding and encouragement.

Contents

	Page
Abstract (Thai)	iv
Abstract (English)	v
Acknowledgement	vi
Contents	vii
List of tables	ix
List of figures	x
Chapter 1 Introduction	1
Chapter 2 Literature review	3
2.1 Perovskite structure ABO_3 : PLZT	3
2.1.1 Modeling of A- and B-site substitution	5
2.1.2 Calculations of tolerance factor	7
2.1.3 Determination of substitution site of doping ions	8
2.2 Photovoltaic effect.....	13
2.2.1 Background.....	13
2.2.2 Effect of additive ions on photovoltaic properties of PLZT ceramics	14
2.2.3 Effect of composition on photovoltaic properties of PLZT ceramics	16
2.2.4 Effect of light wavelength on photovoltaic properties	17
2.3 Piezoelectric effect	21
2.4 Photostriction	23
Chapter 3 Experimental work	25
3.1 Preparation of powder and polycrystalline PLZT	25
3.2 Characterization of PLZT ceramics	30
3.2.1 Phase identification by X-ray diffraction.....	30
3.2.2 Density determination	30
3.2.2.1 Bulk density.....	30
3.2.2.2 Theoretical density.....	31
3.2.3 Microstructure examination by Scanning Electron Microscope (SEM).....	31
3.2.4 Electronic properties	32
3.2.4.1 Dielectric constant measurement.....	32
3.2.4.2 Piezoelectric constant measurement.....	33
3.2.5 Photovoltaic measurement.....	33
3.2.6 Optical absorption edge by UV/Vis Spectrophotometer.....	35

	Page
Chapter 4 Results and discussion	36
4.1 Characterization of PLZT powder	36
4.1.1 Determination of calcining temperature for PLZT powder	36
4.1.2 Microstructure of calcined PLZT powder ..	38
4.2 Dependence of lattice parameters on dopants ..	39
4.3 Density of doped PLZT ceramics	41
4.4 Microstructure of doped PLZT ceramics	42
4.5 Doping effect on dielectric constant	50
4.6 Doping effect on piezoelectric constant	52
4.7 Doping effect on photovoltaic properties	54
4.8 Doping effect on photostrictive properties	56
4.9 Doping effect on optical absorption edge.....	60
Chapter 5 Conclusions	63
Chapter 6 Suggestions for future work	64
References	65
Appendices	71
Vita	85

List of tables

	Page
Table 2.1 Selected ion, atomic number, electron configuration, and ionic radii for doped PLZT series	9
Table 2.2 Formula of doped PLZT ceramics with an assumption of substitution in A-site creating B-site vacancy.....	10
Table 2.3 Formula of doped PLZT ceramics with an assumption of substitution in B-site creating B-site vacancy.....	11
Table 2.4 Calculated average ionic radii of A- and B-site substitution. The tolerance factor is calculated and used to determine the substitution site and the effect of additives	12
Table 3.1 Component oxide powder and chemical used in synthesizing PLZT ceramics	26
Table 4.1 Lattice parameters and X-ray density of 0.5 at% doped PLZT (3/52/48) ceramics sintered at 1250 °C for 2 h	39
Table 4.2 Bulk and relative density of 0.5 at% doped PLZT (3/52/48) ceramics	41
Table 4.3 Average grain size of 0.5 at% doped PLZT (3/52/48) ceramics sintered at 1250 °C for 2 h	42
Table 4.4 Dielectric constant (K) and dissipation factor (D) of undoped and 0.5 at% doped PLZT (3/52/48) ceramics	50
Table 4.5 Piezoelectric constants (d_{33}) of undoped and 0.5 at% doped PLZT (3/52/48) ceramics	52
Table 4.6 Photovoltage (E_{ph}), photocurrent (I_{ph}), photoconductance (G_{ph}) and photovoltaic power (P_{ph}) of undoped and 0.5 at% doped PLZT (3/52/48) ceramics	55
Table 4.7 Photo-induced strain calculated by $d_{33} \times E_{ph}$ of 0.5 at% doped PLZT (3/52/48) ceramics	57
Table 4.8 Optical absorption edge of 0.5 at% PLZT (3/52/48) ceramics	61

List of figures

	Page
Fig. 2.1 Phase equilibrium diagram for $\text{PbZrO}_3\text{-PbTiO}_3\text{-La}_2\text{O}_3$ solid solution (PLZT)	4
Fig. 2.2 PLZT Perovskite structure	4
Fig. 2.3 Cubic perovskite structure and geometrical considerations for lattice parameter “a”	5
Fig. 2.4 Simple photovoltaic effect model for p-n junction solar energy	14
Fig. 2.5 Photovoltaic response as a function of doping ions	16
Fig. 2.6 Contour map of photovoltaic response in PLZT system	17
Fig. 2.7 Optical transmission spectra characteristic of PLZT ceramics	17
Fig. 2.8 Band gap energy (E_g) model for PLZT ceramics	18
Fig. 2.9 Optical absorption spectra and $(\alpha h\nu)^{1/2}$ vs $h\nu$ curve, intercepts of (a) thin film BaTiO_3 and (b) annealed at 1000 °C	20
Fig. 2.10 Wavelength dependence of (a) photocurrent and (b) normalized photocurrent in the various samples.....	21
Fig. 2.11 Contour map of piezoelectric constant of PLZT ceramics	22
Fig. 2.12 Piezoelectric constants of PLZT ceramics (3/52/48) as a function of doping ions valency.....	23
Fig. 2.13 The contour map of photo-induced strain of PLZT system.....	24
Fig. 2.14 The contour map of response speed of PLZT system.....	25
Fig. 3.1 Flow diagram of sample preparation of PLZT ceramics by a conventional oxide mixing process.....	28
Fig. 3.2 Firing curve for the calcining of PLZT powder	29
Fig. 3.3 Firing curve for the sintering of pressed-PLZT pellets	29
Fig. 3.4 Experimental set-up for photovoltaic measurement	34
Fig. 3.5 Schematic diagram showing the relationship between the measured photocurrent and applied voltage	34
Fig. 4.1 XRD patterns of PLZT (3/52/48) powder under different heat treatment and sintered sample	37
Fig. 4.2 SEM micrograph of PLZT (3/52/48) powder calcined at 950 °C for 10 h (before milling).....	38
Fig. 4.3 SEM micrograph of calcined PLZT (3/52/48) powder after milling for 10 h	38
Fig. 4.4 Dopant valency as a function of the tetragonality of 0.5 at% doped PLZT (3/52/48)	40

	Page
Fig 4.5 a-u. SEM micrographs of undoped and 0.5 at% doped PLZT (3/52/48) ceramics	43
Fig. 4.6 Dopant valency as a function of the average grain size of 0.5 at% doped PLZT (3/52/48) ceramics	49
Fig. 4.7 Dielectric constant as a function of dopants valency of 0.5 at% doped PLZT (3/52/48) ceramics.....	51
Fig. 4.8 Piezoelectric constant as a function of dopants valency of 0.5 at% doped PLZT (3/52/48) ceramics	53
Fig. 4.9 Plotting curve of photocurrent as a function of an applied voltage	54
Fig. 4.10 Photovoltaic response as a function of doping ions	56
Fig. 4.11 Variation of photovoltage with piezoelectric constant	58
Fig. 4.12 Photo-induced strain as a function of photovoltage in PLZT (3/52/48) ceramics	58
Fig. 4.13 Response speed, $d_{33} \times I_{ph} / C$, as a function of photocurrent in undoped and 0.5 at% doped PLZT (3/52/48) ceramics	59
Fig. 4.14 Optical transmission spectra of PLZT (3/52/48) ceramics thin section	60
Fig. 4.15 Square roots of $(\alpha h v)$ as a function of $(h v)$ of PLZT (3/52/48) ceramics thin section	60
Fig. 4.16 Scatter diagram of absorption edge as a function of dopant valency in PLZT (3/52/48) ceramics	62